

## پیش‌بینی شرایط بحرانی آتش با استفاده از پارامترهای حریق مواد

### عبدالصمد زرین قلم مقدم

استادیار بخش مهندسی شیمی - دانشکده فنی و مهندسی - دانشگاه تربیت مدرس  
**محمد رضا امیدخواه نسرین**

استادیار بخش مهندسی شیمی - دانشکده فنی و مهندسی - دانشگاه تربیت مدرس  
**نوشین قلی‌پور**

مؤسسه استاندارد و تحقیقات صنعتی ایران - کرج

(تاریخ دریافت ۷۹/۹/۱۳، تاریخ تصویب ۸۰/۷/۷)

### چکیده

آزمونهای کالریمتر مخروطی برای نمونه‌های پلیمری و سلولزی در شار حرارتی  $25 \text{ kW/m}^2$  انجام شد. زمان رسیدن شرایط بحرانی حریق در داخل ساختمان با استفاده از مدل‌های ارائه شده بوسیله Kokkala و Ostman-Nussbaum و همکارانش محاسبه گردید. پارامترهای لازم برای مدل‌های فوق از طریق روش‌های تجربی (ASTM E-۱۲۵۹-۹۰ و ISO/DIS ۵۶۶۰) تعیین گردیدند. نتایج نشان داد که زمان بحرانی پیش‌بینی شده با استفاده از مدل Kokkala تطابق مناسبی با مقادیر واقعی دارد. افزودن کند سوزکننده هیدروکسید منیزیم به پلی‌پروپیلن باعث افزایش زمان بحرانی می‌گردد و این زمان با افزایش درصد  $\text{Mg(OH)}_2$  افزایش می‌یابد ولی در پلی‌اتیلن روند متفاوتی مشاهده شد، با افزایش هیدروکسید منیزیم در درصد های پایین زمان بحرانی نسبت به PE خالص کاهش یافته و در درصد های بالای کندسوز کننده این زمان افزایش می‌یابد.

**واژه‌های کلیدی:** کالریمتر مخروطی، نرخ آزاد شدن حرارت، زمان بحرانی حریق، زمان اشتعال، حریق داخل ساختمان

### مقدمه

مشکلات عملیاتی از روش‌های آزمایشگاهی در ابعاد کوچک جهت پیش‌بینی پارامترهای مربوط به شرایط واقعی حریق استفاده می‌شود.

در این ارتباط دستگاه کالریمتر مخروطی طبق استانداردهای ISO/DIS 5660-90 و ASTME 1359 تعریف گردیده است که اطلاعات لازم را با آزمایش روی نمونه‌ها در ابعاد آزمایشگاهی ارائه می‌دهد. با استفاده از این روش محققین مختلف دنیا مثل Karlsson [۲] و Wickstrom [۳] برای پیش‌بینی سرعت آزاد شدن گرما و سرعت گسترش شعله در آزمونهای مربوط به شرایط واقعی مانند آزمون اطاق حریق (ISO/DIS ۹۷۰۵) یا Nordtest ۰۲۵ روابطی ارائه نموده‌اند.

در مهندسی ایمنی آتش، طبقه‌بندی مواد و مصالح ساختمان همواره مطرح بوده است. بدین منظور تعداد زیادی از خصوصیات حریق ماده در یک یا چند پارامتر مطرح می‌شود، که این پارامترها یا اندیشه‌ها رفتار حریق ماده را در

در آتش سوزی‌های داخل ساختمان یا داخل یک محفظه، بعلت بسته بودن محیط و انباست حرارتی، پس از مدت معینی آتش به مرحله بحرانی یا flashover می‌رسد. در مرحله بحرانی سرعت گسترش آتش بسیار بالا رفته و مواد قابل اشتعال بطور خود به خود مشتعل می‌گردند. در این دما مقاومت ستونهای فولادی ساختمان به  $\frac{1}{2}$  کاهش می‌یابد و پیشگیری از گسترش آتش به سایر قسمتها از این مرحله به بعد بسیار مشکل خواهد بود. براین اساس بیشتر طراحی‌های ایمنی در مهندسی حریق بمنظور پیش‌گیری یا به تأخیر انداختن مرحله بحرانی است. زیرا کاهش سرعت گسترش حریق فرصت کافی برای تخلیه ساکنین و رسیدن گروه اطفاء ایجاد می‌کند. بنابراین پیش‌بینی زمان بحرانی و کاهش آن با استفاده از کندسوز کننده‌ها مورد توجه می‌باشد [۱].

بطور کلی روش دقیق مطالعه گسترش آتش در داخل ساختمان، مستلزم انجام آزمون در ابعاد واقعی است که نیاز به امکانات پیشرفته تحقیقاتی دارد. لیکن بدليل هزینه و

(ISO/DIS ۹۷۰۵) زمان بحرانی،  $t_{fo}$  (اندازه‌گیری شده مطابق ۹۷۰۵) و زمان اشتعال  $t_{ig}$  و نرخ آزاد شدن گرما در کالریمتر مخروطی را بوسیله معادله خطی زیر نشان داده‌اند.

$$t_{fo} = a \frac{t_{ig} \sqrt{\rho}}{A} + b \quad (1)$$

$t_{fo}$  : زمان بحرانی آتش بر حسب ثانیه

$t_{ig}$  : زمان اشتعال بر حسب ثانیه (در شار حرارتی  $25 \text{ kw/m}^2$ )

A : گرمای آزاد شده بر حسب  $\text{J/m}^2$  در طی پیک مربوط به

شار حرارتی  $50 \text{ kw/m}^2$

$a = 276 \times 10^{-6} \text{ J/(kgm)}^{1/2}$

b : ثانیه  $-460$

Ostman و Nussbaum به این نتیجه رسیده‌اند که نه زمان اشتعال و نه نرخ آزاد شدن حرارت (RHR) هیچکدام به تنها‌یی در تعیین زمان بحرانی کافی نیستند. با این که اینرسی بصورت  $\sqrt{k\rho C}$  در این رابطه مطرح نشده، وجود دانسیته بحرانی  $\rho$  رابطه فوق تأثیر اینرسی حرارتی در زمان را نشان می‌دهد. از جمله اشکالات این رابطه نیز استفاده از دانسیته مؤثر می‌باشد که دستیابی به آن در فراورده‌های غیرهموژن دشوار است [۵, ۳].

Kokkala و همکارانش [۴] با استفاده از آنالیز ابعادی دو اندیس اشتعال پذیری و نرخ آزاد شدن گرما را بمنظور طبقه‌بندی مواد پوششی (lining) داخل ساختمان و برای توجیه برخی از پارامترهای رشد حریق بکار برده‌اند.

اندیس اشتعال پذیری بصورت عکس زمان اشتعال تعريف شده است:

$$I_{ig} = \frac{1}{t_{ig}} \quad (2)$$

اندیس نرخ آزاد شدن گرما نیز با انتگرال‌گیری از نرخ آزاد شدن گرما نسبت به زمان محاسبه می‌شود:

$$I_Q = \int_{t_{ig}}^{t_f} \left[ \frac{\dot{q}''(t)}{(t - t_{ig})^m} \right] dt \quad (3)$$

که:  $t_f$  زمان پایان احتراق و m یک اندیس توانی است که عموماً برای آن کمیت  $0.34$  یا  $0.93$  در نظر گرفته می‌شود [۴]. عکس زمان اشتعال در این اندیس‌ها نشان می‌دهد که با افزایش هر دو اندیس  $I_Q$  و  $I_{ig}$  سرعت رشد آتش افزایش

یک آزمون تعیین می‌کنند. لیکن ارتباط بین این پارامترها و رفتار حریق در شرایط واقعی کار جدیدی است که در دهه اخیر مورد توجه قرار گرفته است [۴, ۳].

در این مقاله ضمن محاسبه اندیس‌های طبقه‌بندی مواد با استفاده از آزمایشات تجربی کالریمتر مخروطی، از مدل‌های ارائه شده توسط Kokkala [۴] و Östman [۵] جهت پیش‌بینی زمان بحرانی حریق مواد استفاده گردید.

### زمان رسیدن شرایط بحرانی آتش، $t_{fo}$

زمان رسیدن مرحله گرگرفتن یا flashover پارامتری وابسته به طراحی و بار سوخت ساختمان و همچنین تدابیر ایمنی اتخاذ شده در آن می‌باشد. آگاهی از زمان بحرانی آتش براساس پارامترهای طراحی و بار سوخت ساختمان یک نیاز اساسی در تدابیر ایمنی ساختمانها می‌باشد.

زمان بحرانی آتش در ابعاد واقعی بر طبق روش استاندارد ISO9705 [۱۱] قابل اندازه‌گیری می‌باشد. در شکل ۲ شمای اطاق آتش ISO9705 نشان داده شده است. در این روش مواد قابل اشتعال می‌تواند بصورت ساکن در روی دیواره، و یا سقف اطاق در نظر گرفته شود و یا بصورت اثاث قابل اشتعال در داخل اطاق آزمایش گردد. منبع اشتعال معمولاً گاز پروپان و یا بنزن می‌باشد. زمان رسیدن شرایط بحرانی با قرار دادن ترموموپل در نقاط معینی از اطاق و ثبت دما و یک کالریمتر بزرگ تعیین می‌گردد. شرایط بحرانی وقتی بوجود می‌آید که دمای هوای مجاور سقف اطاق به  $600^\circ\text{C}$  و یا سرعت آزاد شدن گرما به  $1000 \text{ kw}$  برسد [۱۱]. اندازه‌گیری در ابعاد واقعی اغلب پرهزینه و زمان بر می‌باشد لذا اغلب محققین سعی دارند که با استفاده از اطلاعات حاصل از آزمایشات در ابعاد آزمایشگاهی و ارائه مدل‌ها زمان بحرانی آتش را محاسبه کنند. لذا پیش‌بینی زمان بحرانی آتش در ساختمانها یکی از اهداف مهندسی ایمنی آتش می‌باشد و اغلب محققین سعی دارند که زمان بحرانی را به پارامترهای قابل اندازه‌گیری در روش‌های آزمایشگاهی مرتبط کنند. Babrauskas [۶] نسبت زمان اشتعال مواد به حداکثر نرخ آزاد شدن گرما در یک شار حرارتی ثابت را بعنوان پارامتر مهمی در پیش‌بینی زمان بحرانی مطرح نمود.

[۵] برای برخی مواد رابطه بین Östman و Nussbaum

رسیدن به نرخ آزاد شدن گرمای  $1000 \text{ kW}$ ، ارائه کرده‌اند:

$$t_{f0} = 20.5 \cdot I_Q^{-0.057} \quad (8)$$

که در آن شار حرارتی  $25 \text{ kW/m}^2$  و  $m = 0.93$  می‌باشد. آنها رابطه زیر را نیز برای زمان  $t_{f0}$  بین  $10$  و  $15$  دقیقه با در نظر گرفتن  $m = 0.93$  و شار حرارتی  $25 \text{ kW/m}^2$  ارائه کرده‌اند:

$$t_{f0} = 600 + 10.6 \cdot I_Q^{-0.051} \quad (9)$$

با توجه به روابط فوق میزان  $t_{f0}$  با استفاده از پارامترهای کالریمتر مخروطی قابل محاسبه می‌باشد.

نکته قابل توجه در کلیه روابط مربوط به محاسبه زمان گرگرفتن، وجود دو پارامتر زمان اشتعال و نرخ آزاد شدن حرارت است. این پارامترها در بررسی امکان اشتعال پذیری مواد [۷]، تعیین شار حرارتی بحرانی ماده [۸] و همچنین تعیین دمای اشتعال سطح در گسترش حریق [۹]، نقش مهمی را ایفا می‌کنند.

### آزمایشات تجربی

پارامترهای زمان اشتعال و نرخ آزاد شدن گرمای با استفاده از کالریمتر مخروطی مدل استانتون - ردکرافت مطابق استاندارد (۹۰-۱۲۵۹) ISO/DIS و ASTM(E-۱۲۵۹) تعیین گردیده است [۱۰]. نمونه‌ها با ابعاد  $100 \times 100 \text{ mm}$  بصورت افقی تحت شار حرارتی  $25 \text{ kW/m}^2$  مورد بررسی قرار گرفته‌اند. در شکل (۱) شمای کلی دستگاه کالریمتر مخروطی نشان داده شده است.

نتایج آزمایش در ابعاد واقعی مربوط به آزمون اتاق حریق برای محصولات بکار رفته در نازک کاری ساختمان و مطابق با ISO/DIS ۹۷۰۵ [۱۱] و استاندارد کشورهای اسکاندیناوی Nord Test (۰.۲۵) می‌باشد. کلیه نتایج مربوط به شرایط واقعی از منبع [۱۵] استخراج شده است.

مشخصات مواد مورد آزمون بصورت زیر می‌باشند: پلی‌اتیلن (PE)، پلی‌لی‌پروپیلن (PP) (T30S)، (LDPE-۰.۷۵)، اسفنج پلی‌یورتان (PU) (۴۰k)، پلی‌متیل متاکریلات (PMMA) (ماده‌ای سیاه رنگ که نمونه استاندارد کالریمتر مخروطی می‌باشد). پلی‌استایرین (PS)،

می‌یابد.

با توجه به این که سرعت آزاد شدن گرمای بلا فاصله بعد از اشتعال اهمیت زیادی دارد، میزان  $t_{ig}$  در محاسبه اندیس‌ها بسیار مهم می‌باشد لذا در محاسبه  $I_Q$  زمان مربوط به آزاد شدن گرمای معادل  $5.0 \text{ kW/m}^2$  (که مربوط به گرمای احتراق  $2.0 \text{ MJ/kg}$  در نرخ کاهش جرم  $2/5 \text{ gm}^{-2} \text{s}^{-1}$  می‌باشد) بعنوان  $t_{ig}$  در نظر گرفته می‌شود [۴].

Kokkala و همکارانش روابطی بمنظور تعیین محدوده زمان بحرانی در کمتر از  $2$  دقیقه، بین  $2$  و  $12$  دقیقه، بعد از  $20$  دقیقه یا عدم وقوع مرحله بحرانی ارائه کرده‌اند:

۱- محدوده خطی برای زمان  $t_{f0} = 20$  دقیقه با در نظر گرفتن  $m = 0.93$ ، با رابطه زیر تعیین می‌گردد:

$$I_Q = 6800 - 540 \cdot I_{ig} \quad (4)$$

در رابطه فوق اندیس اشتعال پذیری دارای واحد  $\text{min}^{-1}$  می‌باشد.

۲- زمان  $t_{f0}$  بین  $2$  و  $12$  دقیقه با در نظر گرفتن  $m = 0.93$  دارای رابطه حد

$$I_Q = 2475 - 165 \cdot I_{ig} \quad (5)$$

برای  $2$  دقیقه و رابطه

$$I_Q = 1650 - 165 \cdot I_{ig} \quad (6)$$

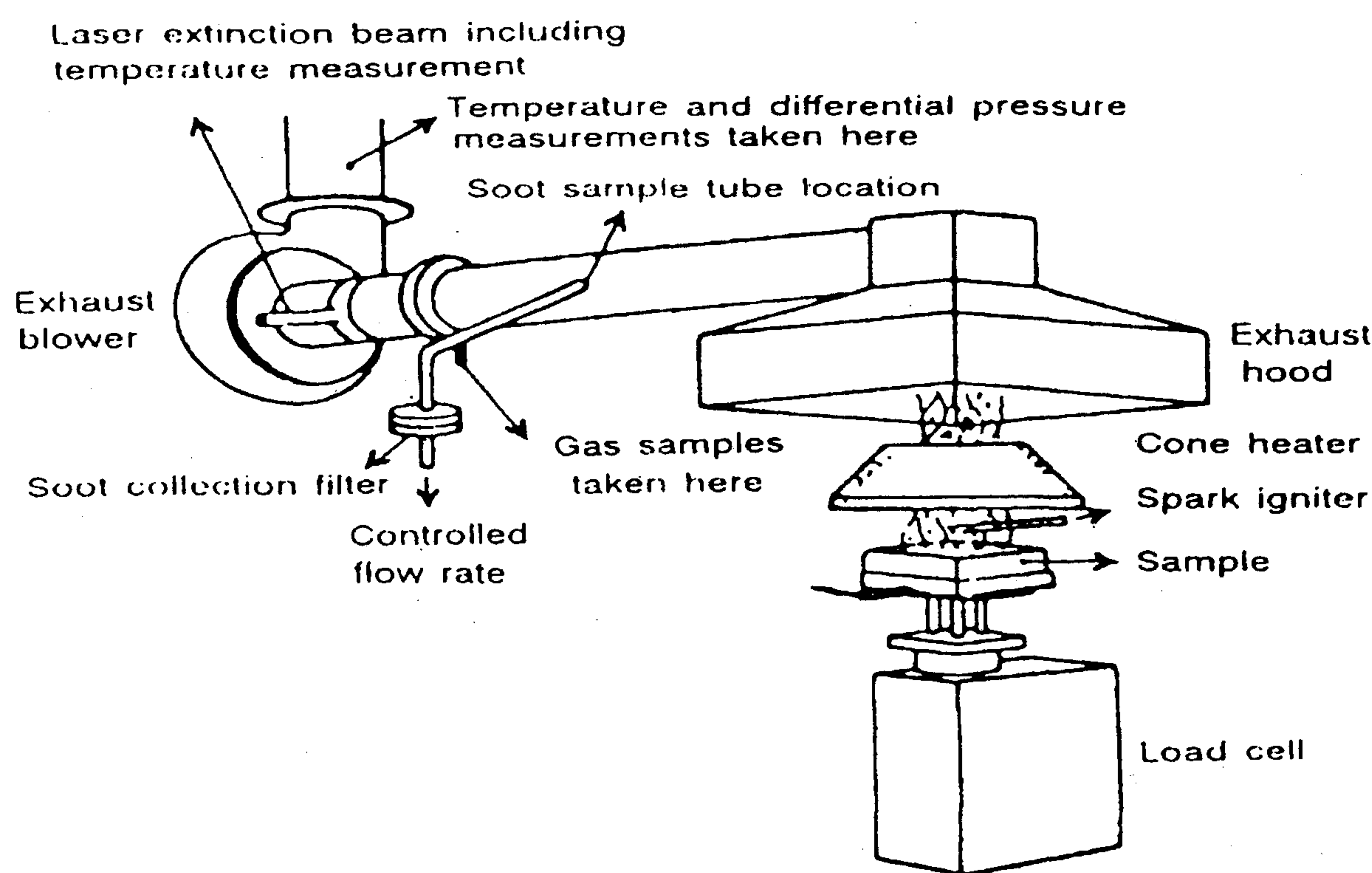
برای  $12$  دقیقه می‌باشد که مقادیر  $I_Q$  بین این دو حد نشانده‌نهنده زمان بحرانی بین  $2$  و  $12$  دقیقه است.

در زمینه ارتباط اندیسها با زمان اشتعال پذیری روابط مختلفی ارائه شده است. Karlsson و Magnusson [۴] در شرایط آزمون ۹۷۰۵ ISO/DIS و منبع سوختی گازی  $10 \text{ kW}$ ، رابطه زیر را ارائه کرده‌اند که زمان بر حسب ثانیه و نرخ آزاد شدن گرمای بر حسب  $\text{kW/m}^2$  بوده و نتایج کالریمتر مخروطی در شار حرارتی  $30 \text{ kW/m}^2$  با در نظر گرفتن  $m = 0.93$  مورد استفاده قرار گرفته‌اند:

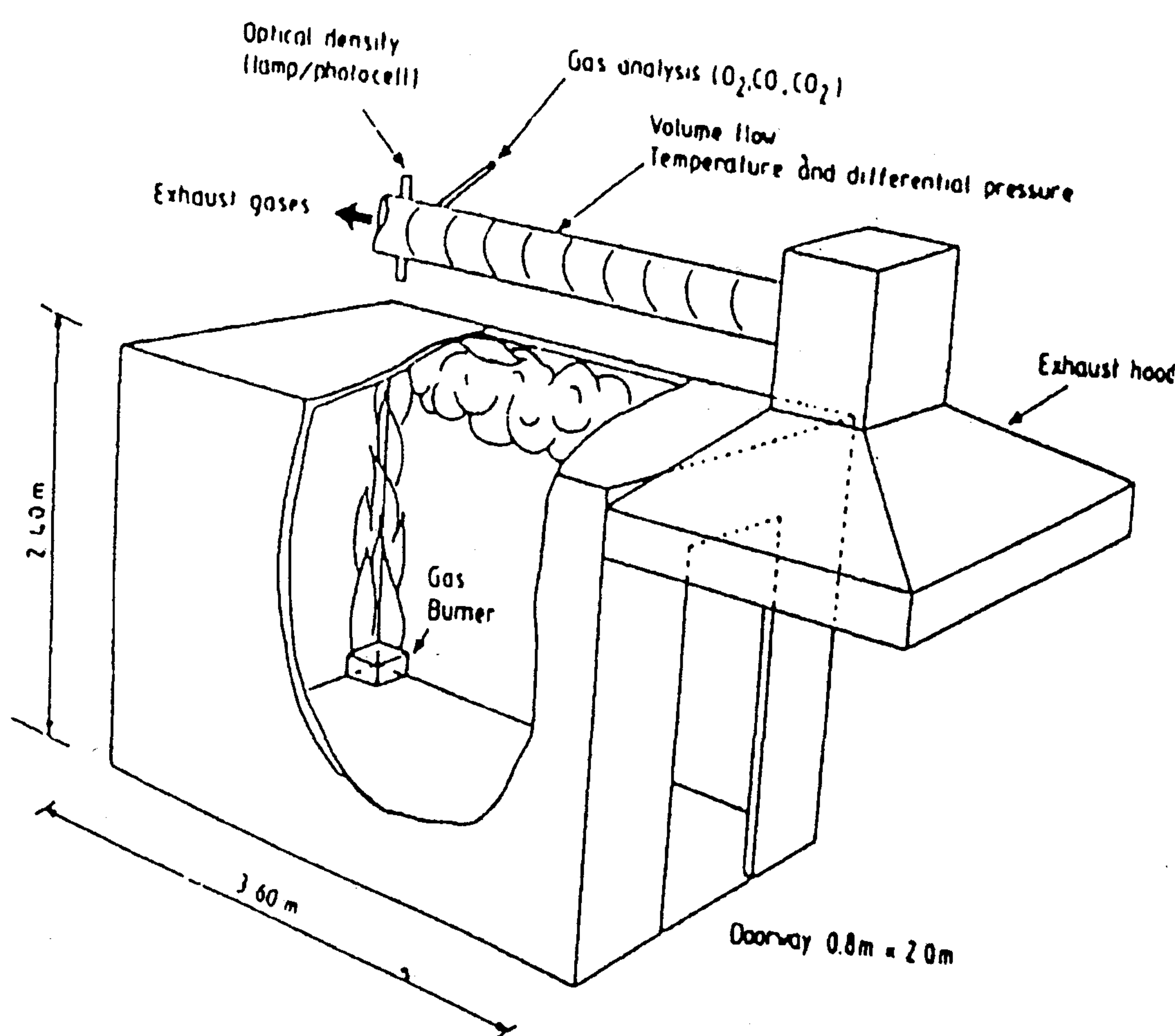
$$t_{f0} = 97 \cdot t_{ig}^{0.051} \quad (7)$$

رابطه فوق مربوط به زمان  $10$  دقیقه اول می‌باشد زیرا بعد از آن شار حرارتی به  $30 \text{ kW}$  افزایش می‌یابد.

Kokkala و همکارانش [۴] نیز رابطه زیر را برای زمان



شکل ۱: شمایی از کالریمتر مخروطی.



شکل ۲: شمایی از اطاق تست آتش (Room/Corner Test)

**بحث و نتایج**  
آزمونهای کالریمتر مخروطی برای نمونه‌های پلیمری و سلولزی در دو شار حرارتی  $50^{\circ}\text{C}$  و  $25\text{ kW/m}^2$  انجام شده‌اند.

چوب (Wood)، پلی‌اتیلن و پلی‌بروپیلن همراه با درصدهای مختلف از تأخیر انداز اشتعال هیدروکسید منیزیم  $\text{Mg(OH)}_2$  (صنعتی مرک، پودر با مش  $60^{\circ}$  و کوچکتر از آن).

جدول ۱: محاسبه اندیس‌های اشتعال‌پذیری و نرخ آزاد شدن حرارت در شار حرارتی  $50 \text{ kW/m}^2$ 

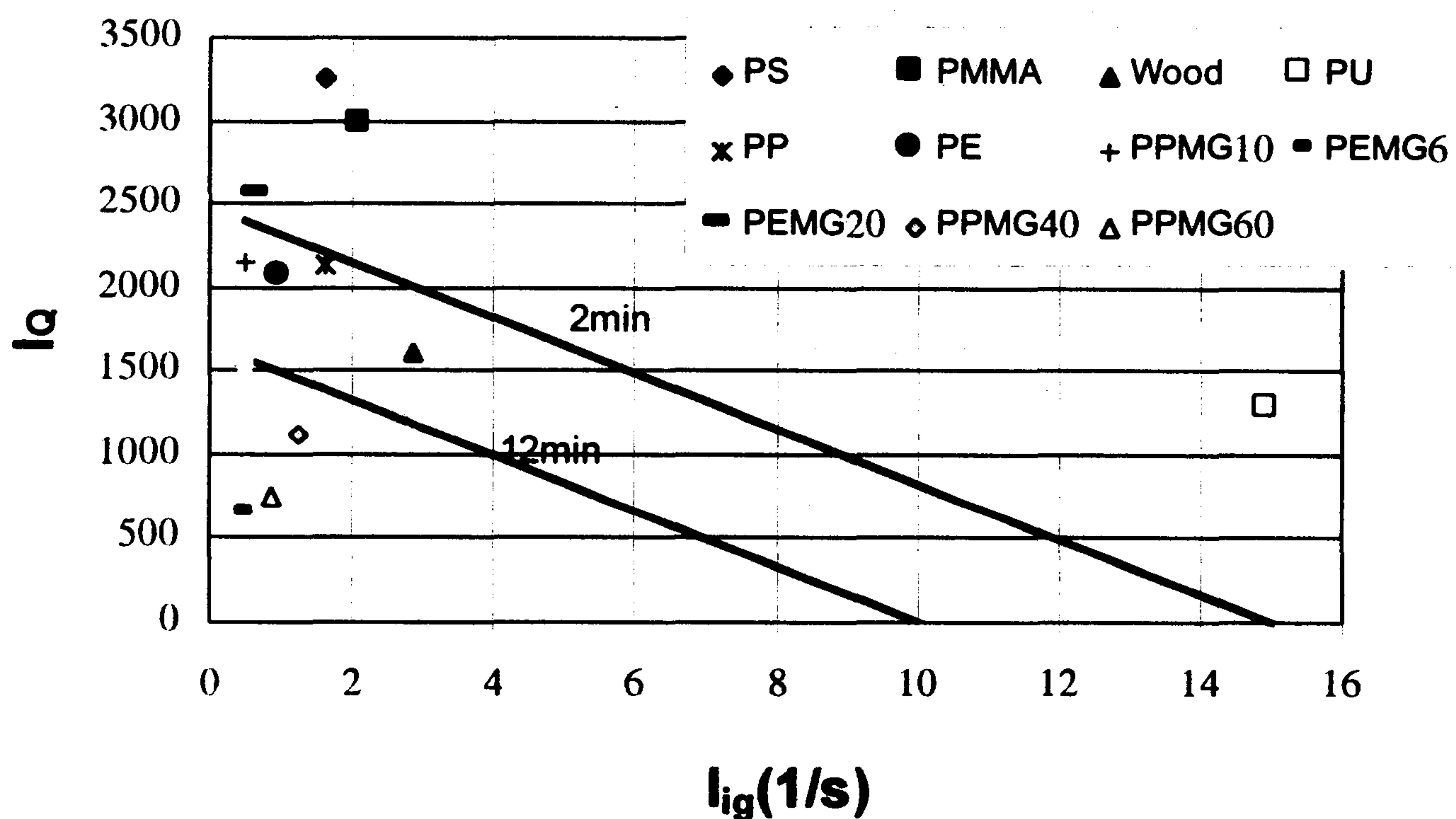
$I_{ig}$ (1/min)	$I_Q$ $m = 0/34$ $\dot{q}''_i = 50$	$I_Q$ $m = 0/93$ $\dot{q}''_i = 50$	$t_{ig}$ (s) $\dot{q}''_i = 50$	نوع نمونه
۱/۶۲	۱۸۵۶۵۴/۳	۳۲۵۳/۷۳	۳۷	PS
۱۰	۹۳۵۴/۱	۱۲۶۳/۸۷	۴۷	PU
۲/۸۸	۱۹۹۲۱/۲۲	۱۶۰۰	۲۱	Wood
۲/۱۶	۷۹۷۷۸/۹۳	۲۹۶۵/۶	۲۸	PMMA
۱/۶۲	۲۲۰۲۱/۱۰	۲۱۴۲/۲۸	۳۶	PP
۱/۰۲	۳۴۹۸۴/۴	۲۰۰۵/۲۲	۵۲	PE
۰/۴۸	۳۴۳۱۶/۸	۲۱۴۸/۲	۴۱	PP + ۱۰% Mg(OH) <sub>2</sub>
۱/۲۵	۲۱۱۶۲/۶۸	۱۱۲۴/۷	۴۸	PP + ۴۰% Mg(OH) <sub>2</sub>
۰/۸۶	۶۳۸۴/۹۸	۷۰۹/۱	۷۰	PP + ۶۰% Mg(OH) <sub>2</sub>
۰/۵	۹۹۴۳/۹	۶۰۹/۵۸	۱۱۹	PE + ۶۰% Mg(OH) <sub>2</sub>
۰/۷۲	۴۰۳۸۱/۷	۲۵۳۰/۵۰۵	۸۳	PE + ۲۰% Mg(OH) <sub>2</sub>

جدول ۲: تعیین مقدار  $t_{fo}$  با استفاده از روابط Kokkala و همکارانش.

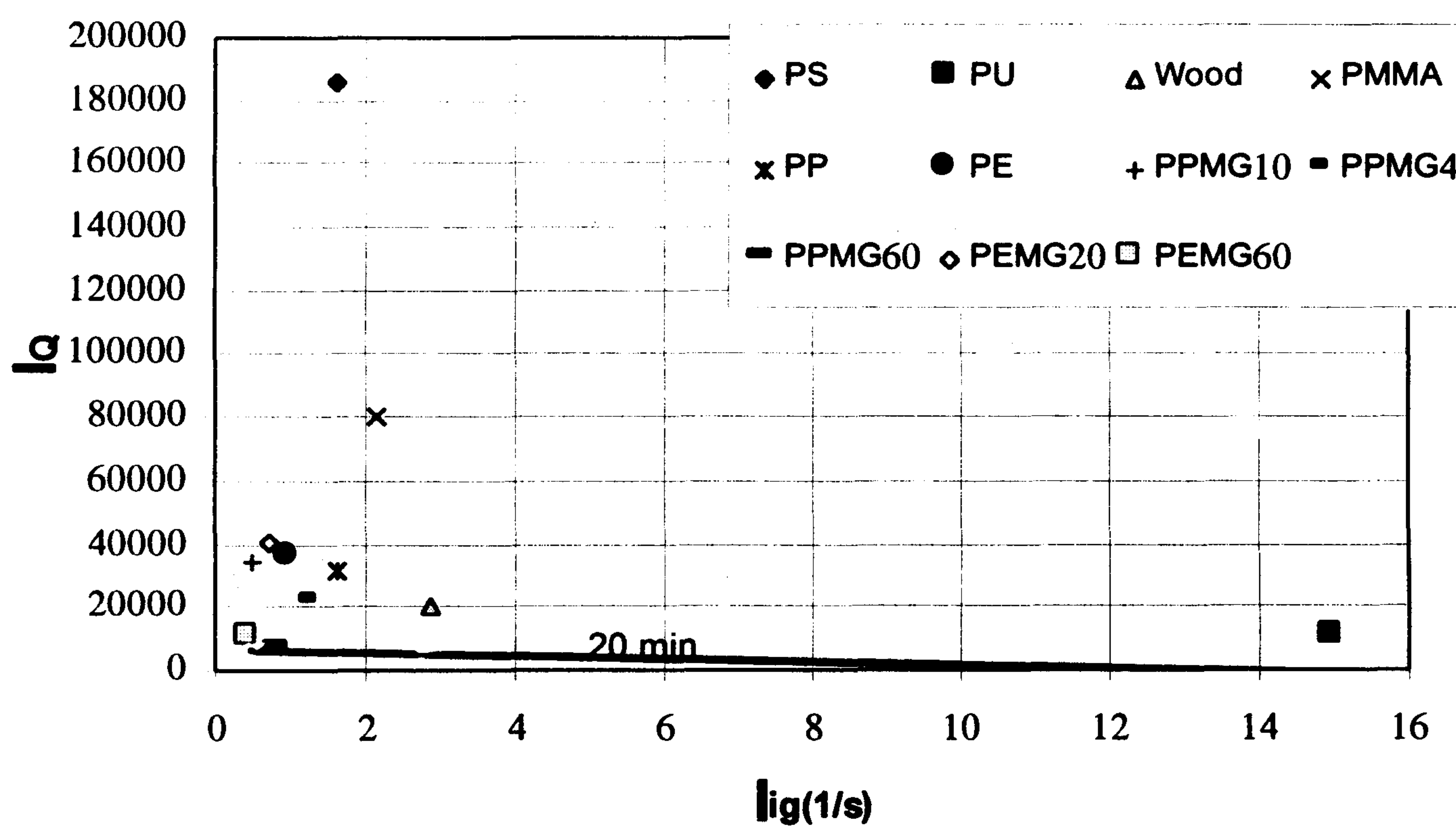
$t_{fo}$ محاسبه شده (min)	$I_Q$ $m = 0/93$ $\dot{q}''_i = 25$	$t_{ig}$ (s) $\dot{q}''_i = 25$	نوع نمونه
۰:۲۰	۸۱۰/۵۹	۷	PU
۲:۱۵	۸۰۹/۶	۹۲	Wood
۱:۳۷	۲۰۲۲/۲۰۸	۱۱۲	PMMA
۳:۳۳	۱۳۶۸/۸۴	۲۳۶	PE
۲:۰۰	۱۶۴۸/۳	۱۲۷	PP + ۱۰% Mg(OH) <sub>2</sub>

ترسیم گردیده‌اند. خط ارائه شده در شکل (۴) محدوده زمان بحرانی ۱۰ دقیقه را نشان می‌دهد که با استفاده از رابطه ۶ ترسیم گردیده است. هرچه نمونه دارای اندیس اشتعال‌پذیری و اندیس نرخ آزاد شدن حرارت کمتری بوده و یا بعبارتی دیگر در این دو شکل موقعیت اندیس‌های مربوط به یک نمونه به مبدأ مختصات نزدیکتر باشد، نمونه دارای زمان بحرانی طولانی‌تری خواهد بود. با توجه به شکلهای (۳) و (۴) نمونه‌های پلی‌استایرن، پلی‌متیل متاکریلات، پلی‌یورتان و مخلوط پلی‌اتیلن با ۲۰ درصد هیدروکسید منیزیم دارای زمان بحرانی کمتر از ۲ دقیقه هستند. نمونه‌های چوب، پلی‌پروپیلن، پلی‌اتیلن، مخلوط ۱۰، ۴۰ و ۶۰ درصد

زمان اشتعال و نرخ آزاد شدن حرارت نسبت به زمان از این آزمایشات تعیین گردیده و از آنها در محاسبه اندیس نرخ آزاد شدن حرارت و اندیس اشتعال‌پذیری در معادلات ۲ و ۳ استفاده گردیده است. نتیجه این محاسبات در جداول (۱) و (۲) ارائه شده‌اند. در جدول (۱) دو اندیس فوق در شار حرارتی  $50 \text{ kW/m}^2$  با در نظر گرفتن  $m = 0/93$  و  $m = 0/34$  محاسبه شده‌اند که نتایج آن بصورت دو شکل (۳) و (۴) نمایش داده شده است. در شکل ۳ دو خط ترسیم گردیده که محدوده زمان بحرانی ۲ دقیقه و ۱۲ دقیقه را در شرایط شار حرارتی  $50 \text{ kW/m}^2$  و اندیس توانی  $m = 0/93$  نشان می‌دهند. این خطوط با استفاده از روابط ۴ و ۵ مدل کوکالا



شکل ۳: ارتباط اندیس‌های اشتعال‌پذیری و نرخ آزاد شدن حرارت در شار حرارتی  $m=0/۹۳\text{ kW/m}^2$  و  $50\text{ kW/m}^2$



شکل ۴: ارتباط اندیس‌های اشتعال‌پذیری و نرخ آزاد شدن حرارت در شار حرارتی  $m=0/۳۴\text{ kW/m}^2$  و  $50\text{ kW/m}^2$

خالص در شکل‌های (۳) و (۴) در موقعیتی نزدیکتر به مبدأ قرار گرفته است و با افزایش میزان درصد کندسوز کننده افزایش زمان بحرانی در شکل‌ها محسوس شده‌اند. عنوان با مثال مخلوط PP ۱۰ درصد هیدروکسید منیزیم نسبت به PP با ۴۰ درصد هیدروکسید منیزیم  $I_{Qg}$  و  $I_Q$  بیشتری داشته و بنابراین زمان بحرانی کوتاهتری دارد. همین وضعیت در

هیدروکسید منیزیم با پلی‌پروپیلن و مخلوط ۶۰ درصد هیدروکسید منیزیم با پلی‌اتیلن دارای زمان بحرانی بین ۲ و ۱۲ دقیقه می‌باشد.

نکته جالب توجه در مورد نمونه‌های کندسوز شده این است که با افزودن هیدروکسید منیزیم میزان  $I_{Qg}$  و  $I_Q$  نمونه کاهش یافته به نحوی که نمونه کندسوز شده نسبت به پلیمر

جدول ۳: متوسط نرخ آزاد شدن گرما تا سه دقیقه بعد از اشتعال نمونه در کالریمتر مخروطی در شار حرارتی  $50 \text{ kW/m}^2$ 

نمونه	نرخ متوسط آزاد شدن گرما تا سه دقیقه بعد از اشتعال ( $\text{kW/m}^2$ )
PE	۴۹۲/۱
PE+٪۱۰Mg(OH) <sub>2</sub>	۵۰۹/۵
PE+٪۲۰Mg(OH) <sub>2</sub>	۵۵۲/۱
PE+٪۴۰Mg(OH) <sub>2</sub>	۲۹۵
PE+٪۶۰Mg(OH) <sub>2</sub>	۱۱۲

جدول ۴: مقایسه  $t_{f_0}$  واقعی [۵] و محاسبه شده با روش Kokkala و همکارانش.

نوع نمونه	$t_{f_0}$ محاسبه شده	$t_{f_0}$ واقعی
PS	< ۲	۲:۱۲ <sup>a</sup>
PU	۰:۲۰	۰:۱۴
Wood	۲:۱۵	۲:۱۸

 $a = \text{expanded ps.}$  [۵]جدول ۵: مقایسه  $t_{f_0}$  محاسبه شده در روش Nussbaum و Ostman با روش Kokkala و همکارانش.

نوع نمونه	$t_{ig}$ (s)	$\dot{q}_i = ۲۵$	A (MJ/m <sup>2</sup> )	$\rho$ (kg/m <sup>3</sup> )	$t_{f_0}^{(a)}$ (min)	$t_{f_0}^{(b)}$ (min)
PE	۲۳۶	۲۲۶	۱۷۳/۴	۸۴۰	۱:۲۳	۱:۰۳
PP	۱۱۹	۱۱۹	۱۹۶/۸۰	۸۲۰	---	۰:۰۲
PMMA	۱۱۲	۱۱۲	۶۱۵/۳۱	۱۲۳۰	۱:۳۷	-۲۸/(s)
Wood	۹۲	۹۲	۴۳/۱۵۷	۶۲۰	۲:۱۵	۱:۴۱
PU	۷	۷	۳۲/۰۰۶	۶۵	۰:۲۰	-۴۱(s)
PS	۳۶۶	۳۶۶	۱۸۵/۶	۹۱۰	---	۲:۰۰
PP+٪۱۰Mg(OH) <sub>2</sub>	۱۲۷	۱۲۷	۱۹۶/۰	۸۹۰	۲:۰۰	۰:۰۴

a : مقدار محاسبه شده با روش Nussbaum و Ostman

b : مقدار محاسبه شده با روش Kokkala و همکارانش

(RHR) دقیقاً بعد از زمان اشتعال، در محاسبه  $I_f$  این نتیجه منطقی می‌باشد.

در جدول (۲) زمان بحرانی برخی نمونه‌ها با توجه به آنها در شار حرارتی  $25 \text{ kW/m}^2$  با استفاده از رابطه  $I_f$  و  $I_g$  محاسبه شده است. بین نتایج جدول (۲) و شکل‌های (۳) و (۴) هماهنگی مناسبی مشاهده می‌گردد، بعنوان مثال موقعیت چوب در شکل (۳) و (۴) نشان می‌دهد که زمان بحرانی آن بین ۲ و ۱۲ دقیقه می‌باشد و مقدار  $t_{f_0}$  محاسبه

مورد درصدهای دیگر نیز مشاهده می‌گردد ولی در مخلوط با PE هیدروکسید منیزیم، در درصدهای پایین، حدود ۲۰ درصد نمونه مخلوط نسبت به PE خالص زمان بحرانی کمتری دارد که در درصدهای بالاتر مجدداً این زمان افزایش می‌یابد. همانطور که در جدول (۳) مشاهده می‌گردد متوسط نرخ آزاد شدن گرما تا سه دقیقه بعد از اشتعال در درصدهای پایین مخلوط هیدروکسید منیزیم و پلی‌اتیلن از PE خالص بیشتر است و با توجه به اهمیت تأثیر تغییرات این پارامتر

منیزیم زمان بحرانی کاهش یافته و در درصدهای بالا افزایش می‌یابد.

۴- روابط Kokkala و همکارانش بمنظور پیش‌بینی زمان بحرانی حريق با استفاده از انديسهای اشتعال‌پذيری و نرخ آزاد شدن گرما برای نمونه‌های مورد بررسی مناسب بوده لیکن رابطه Ostman و Nussbaum در اين ارتباط جوابهاي قابل قبولی نمی‌دهند.

## فهرست علائم

$j/kgk$	: گرمای ویژه،	$c$
$I_{ig}$	: انديس اشتعال‌پذيری	
$I_Q$	: انديس نرخ آزاد شدن حرارت	
$wm^{-1}k^{-1}$	: ضريب هدايت گرمایي،	$k$
$kpc$	: ايترسي حرارتی	
$kw/m^2$	: شار حرارتی فرودي،	$\dot{q}_i''$
	: نرخ آزاد شدن گرما در واحد سطح	$\dot{q}''$
$T_{ig}$	: دمای اشتعال سطح، $^{\circ}K$	
$T_0$	: دمای محیط، $^{\circ}K$	
$t_{ig}$	: زمان اشتعال در شار حرارتی فرودي، $s$	
$t_{fo}$	: زمان flashover	
$\rho$	: دانسيته، $kg/m^2$	

## زيرنويسها

: اشتعال  $ig$

شده آن نيز ۲:۱۵ دقيقه می‌باشد.

در جدول (۴) زمان بحرانی محاسبه شده با روش Kokkala برای نمونه‌ها با مقدار واقعی مقایسه شده است. اين زمانها در نمونه‌های پلی‌يورتان و چوب و پلی‌استايرن داراي اختلاف ناچيزی است که با توجه به اختلاف جنس نمونه‌ها قابل صرفنظر می‌باشد.

بعد از اين بررسیها مقدار زمان بحرانی با توجه به دانسيته، زمان اشتعال و نرخ آزاد شدن گرما در هر نمونه با استفاده از رابطه Ostman و Nussbaum محاسبه شد که در جدول (۵) ارائه گردیده است. همانطورکه ملاحظه می‌شود نتایج اين محاسبات با نتایج حاصل از روش Kokkala و همکارانش مطابقتی ندارد. دليل اين عدم تطابق تعیین ثابت‌های معادله توسط Ostman و Nussbaum براساس نمونه‌هایي محدود و خاص می‌باشد.

## نتیجه‌گیری

- با استفاده از اطلاعات حاصل از روش آزمایشگاهی Kokkala و مدل‌های ارائه شده توسط ASTM(E-۱۳۵۹) زمان بحرانی قابل پیش‌بینی است.
- مطابق اين بررسی، زمان رسیدن شرایط بحرانی چوب طولانی‌تر از پلیمرهای خالص می‌باشد.
- افزودن هيدروکسید منیزیم به پلیمرهای PE و PP باعث افزایش  $t_{fo}$  می‌گردد که با افزایش درصد آن در PP میزان  $t_{fo}$  افزایش یافته، لیکن در PE در درصدهای پایین هيدروکسید

## مراجع

- 1 - Moghaddam, A. Z., Shields, T. J. and Silcock, G. W. H. (2000). "Assessing critical stages of fire inside buildings by ISO 9705 Method." *Asian J. of Civil Engineering*, Vol. 1, No. 2.
- 2 - Karlsson, B. and Magnusson, S. E. (1990). *Room Fires and Combustible Linings*. American Chemical Society, PP. 565-591.
- 3 - Wickström, U. and Göransson, U. (1992). "Full-scale/bench-scale correlations of wall and ceiling linings." *Fire and Materials*, Vol. 16, PP. 15-22.
- 4 - Kokkala, Matti A., Thomas, Philip H. and Karlsson, B. (1993). "Rate of heat release and ignitability indices for surface linings." *Fire and Materials*, Vol. 17, PP. 209-216.
- 5 - Östman, B. A. L. and Nussbaum, R. M. (1989). "Correlation between small-scale rate of heat release

- and full-scale room flashover for surface linings." *Fire Safety Science-Proc. of the Fourth International Symposium*, PP. 823-830.
- 6 - Babrauskas, V. (1984). "Bench-scale methods for prediction of full-scale fire behaviour of furnishings and wall linings." *SFPE Technology Report 84-10, Society of fire protection Engineers*, Boston, MA, USA.
- 7 - Silcock, G. W. H. and Shields, T. J. (1995). "A protocol for analysis of time-to-ignition data from bench scale tests." *Fire Safety Journal*, Vol. 24, PP. 75-95.
- 8 - Nelson, Harold E. and Forssel, Eric W. (1989). "Use of small-scale test data in hazard analysis." *Fire Safety Science Proc. of the Fourth International Symposium*, PP. 971-982.
- 9 - Moghtaderi, B., Novozhilov, V. and Fletcher, D. F. (1997). "A new correlation for bech-scale piloted ignition data of wood." *Fire Safety Journal*, Vol. 29, PP. 41-59.
- 10 - ISO/DIS 5660, (1990). "Fire tests-reaction to fire-rate of heat release." *International Organization for Standardization*, Geneva, Switzerlan.
- 11 - Peacock, Richard D., Reneke, Paul A., Buksowski, Richard W. and Babrauskas, V. (1999). "Defining flashover for fire hazard calculations." *Fire Safety Journal*, VOI. 32, PP. 331-345.